

توافق تطبیقی مبتنی بر رویت گرهای توزیع شده در سیستم چند عاملی غیرخطی در حضور اشباع ورودی و ترم‌های نایقینی

ناهید رحیمی^۱ و طاهره بینازاده^۲

دانشجوی دکترا - دانشکده مهندسی برق و الکترونیک - دانشگاه صنعتی شیراز - شیراز - ایران،
n.rahami@sutech.ac.ir
نویسنده مسئول، استاد؛ دانشکده مهندسی برق و الکترونیک - دانشگاه صنعتی شیراز - شیراز - ایران،
binazadeh@sutech.ac.ir

(تاریخ دریافت مقاله: ۱۳۹۸/۰۶/۲۰ تاریخ پذیرش مقاله: ۱۴۰۰/۰۸/۱۲)

DOR:
[20.1001.1.23223146.1400.8.1.2.1](http://10.1001.1.23223146.1400.8.1.2.1)

شهریمانی غیرخطی دمندی بنز

دوره ۸ - شماره ۱

بهار و تابستان ۱۴۰۰

صفحات ۱۵۵ الی ۱۷۸

ISSN: 2322-3146

<http://journals.sut.ac.ir/jnsee>

چکیده

در این مقاله به طراحی کنترل کننده های تطبیقی توزیع شده مبتنی بر رویت گر، به منظور دست یابی به توافق خروجی رهبرمحور در سیستم های چند عاملی غیرخطی مرتبه بالا در حضور قید اشباع ورودی نامتقارن و عدم قطعیت های سیستم پرداخته شده است. همچنین، در معادلات دینامیکی عامل های پیرو و ترم های غیرخطی که ناشی از ساده سازی مدل، عدم قطعیت پارامترها و اغتشاشات خارجی می باشند، در نظر گرفته شده اند. به منظور کاهش محافظه کاری، کران بالای ترم های نامعلوم به عنوان ثابت های نامشخص فرض شده اند که از طریق قوانین تطبیقی به دست می آیند. علاوه بر این فرض می شود که تمام متغیر های حالت عامل ها به طور مستقیم قابل اندازه گیری نمی باشند. بنابراین، ابتدا با طراحی رویت گرهای غیرخطی توزیع شده، متغیر های حالت عامل ها تخمین زده می شوند و سپس با استفاده از رویکرد مد لغزشی، قوانین کنترلی تطبیقی توزیع شده مبتنی بر رویت گر به نحوی طراحی می شوند که توافق خروجی بین عامل ها را تضمین کنند و خروجی عامل های پیرو بتوانند در حضور ترم های نایقینی و محدودیت اشباع نامتقارن ورودی، خروجی عامل رهبر را ردیابی کنند. در انتها نتایج شبیه سازی ها دستاوردهای قوانین پیشنهادی ارائه شده را کاملا تایید می کنند.

واژه های کلیدی

توافق خروجی،

سیستم های چند عاملی،

رویت گرهای غیرخطی توزیع شده،

کنترل مدلغزشی تطبیقی،

قید اشباع نامتقارن ورودی.



Sahand University
of Technology

DOR:

[20.1001.1.23223146.1400.8.1.2.1](https://doi.org/10.1001.1.23223146.1400.8.1.2.1)

Journal of Nonlinear
Systems in Electrical
Engineering
Vol.8, No.1

Spring and Summer 2021

ISSN: 2322 – 3146

<http://journals.sut.ac.ir/jnsee>

Adaptive Consensus based on Distributed Observers for Nonlinear Multi-Agent System with Input Saturation and Uncertain Terms

Nahid Rahimi¹ and Tahereh Binazadeh²

¹Ph.D. Student, Faculty of Electrical and Computer Engineering, Shiraz University of Technology, Shiraz, Iran, n.rahami@sutech.ac.ir

²**Corresponding Author**, Professor, Faculty of Electrical and Computer Engineering, Shiraz University of Technology, Shiraz, Iran, binazadeh@sutech.ac.ir

ABSTRACT

Keywords

Output Consensus, Multi-agent systems,

Nonlinear distributed observers,

Adaptive sliding-mode,

Non-symmetric input saturation constraint.

This paper considers the design of observer-based distributed adaptive controllers to achieve a leader-follower output consensus for high-order nonlinear multi-agent systems at the presence of non-symmetric input saturation constraint and system uncertainties. Moreover, in the dynamic equations of the follower, nonlinear unknown terms that are due to model simplification, uncertainty of parameters or external perturbations are considered. In order to reduce the conservatism, the upper bound of the uncertain term is considered to be unknown, which is obtained by adaptive laws. In addition, it is assumed that all states variables of agents are not directly measurable; therefore firstly, by designing the nonlinear distributed observers, the states variables of agents are estimated. Then, by using the sliding mode technique, the observer-based distributed adaptive control laws are designed to ensure the output consensus between the agents, and the output of the followers can track the output of the leader, at the presence of non-symmetric input saturation and uncertain terms. Finally, the results of the simulations completely confirm the achievements of the proposed laws.

۱- مقدمه

در سال های اخیر سیستم های چند عاملی به علت کاربردهای فراوانشان بسیار مورد توجه قرار گرفته اند. سیستم های چند عاملی دسته ای خاص از سیستم های پیچیده محسوب می شوند که به سبب ویژگی هایی که دارند در مدل سازی دسته ای وسیعی از سیستم ها مورد استفاده قرار می گیرند. کاربرد و هدف به کار گیری سیستم های چند عاملی باعث به وجود آمدن زمینه های تحقیقاتی مختلفی از جمله آرایش بندی، مساله های ملاقات در فضا، حرکت هماهنگ، ائتلاف، کنترل پوشش و توافق شده است. این زمینه ها از یکدیگر مستقل نیستند، در واقع ممکن است تا حدی همپوشانی داشته باشد. یکی از بحث های قابل توجه در مورد سیستم های چند عاملی، مساله های توافق می باشد. توافق به رفتار گروهی اطلاق می شود که تمام عوامل به طور یکسان با یک پروتکل توزیع شده محلی به توافق عمومی مشترک دست می یابند. در حقیقت همگرا شدن عامل ها به یک مقدار مشخص، توافق یا سازش نام دارد [۱-۲]. از این رو تحقیقات پژوهشی مختلفی در راستای طراحی کنترل کننده به منظور حصول توافق صورت گرفته است. مساله های توافق سیستم های چند عاملی قابلیت به کار گیری در زمینه های بسیاری از جمله جامعه شناسی [۳]، شبکه های قدرت [۴]، محاسبات موازی [۵]، زیست شناسی [۶]، شبکه های سنسوری [۷] و رباتیک [۸] را دارد. از دید کنترلی، مساله های توافق شامل طراحی یک قانون کنترلی است که همگرا بیان عامل ها را تضمین کند. استراتژی یافتن یک قانون کنترلی که توافق را تضمین کند به عوامل مختلفی از جمله حالت توافق، دینامیک عامل ها و ... بستگی دارد [۹].

حال توافق یکی از عوامل تاثیرگذار در طراحی قانون کنترلی می باشد. سیستم های چند عاملی از این رو به دو دسته ای رهبر محور و بدون رهبر تقسیم بندی می شوند. سیستم های چند عاملی رهبر محور به سیستم هایی گفته می شوند که مقدار مورد توافق عامل ها، متغیرهای حالت رهبر است و متغیرهای حالت عامل ها باید به متغیرهای حالت رهبر همگرا شوند [۱۰]. رهبر می تواند مجازی یا حقیقی باشد. در صورتی که یکی از عامل ها به عنوان رهبر در نظر گرفته شود، رهبر حقیقی می باشد؛ در این حالت بقیه عامل ها پیرو نامیده می شوند [۱۱]. همچنین رهبر می تواند مجازی باشد. مثلا یک سیگنال مرجع را می توان به عنوان رهبر در نظر گرفت [۱۲]. در مساله های کنترل توافق رهبر محور، رفتار رهبر بر روی عملکرد بقیه عامل ها (پیروها) به صورت مستقیم یا غیر مستقیم تاثیر می گذارد، اما خود از بقیه عامل ها تاثیر نمی پذیرد [۱۳].

از دیگر عوامل تاثیرگذار در طراحی قانون کنترلی به منظور دست یابی به مساله های توافق در سیستم های چند عاملی، دینامیک عامل ها می باشد. سیستم های چند عاملی از این حیث به دو گروه سیستم های چند عاملی خطی و غیرخطی تقسیم بندی می شوند. سیستم های چند عاملی خطی به سیستم هایی گفته می شود که دینامیک عامل های آن خطی باشد. سیستم های چند عاملی غیرخطی به سیستم هایی گفته می شود که عامل های آن دینامیکی غیرخطی دارند. غیرخطی بودن یکی از ویژگی های سیستم های فیزیکی است و تقریباً تمامی سیستم های موجود در طبیعت غیرخطی هستند. همچنین پدیده هایی همچون نویز، اختشاش و عدم قطعیت پارامترهای یک سیستم می تواند باعث غیرخطی شدن یک سیستم خطی شود. حل مساله های توافق برای سیستم های چند عاملی غیرخطی بسیار پیچیده تر از سیستم های چند عاملی خطی می باشد [۱۴].

از دیگر ویژگی های سیستم های فیزیکی اشباع محرک می باشد که به دلیل محدودیت های فیزیکی عملگرهاست [۱۵، ۱۶]. اشباع بر روی عملکرد کنترل کننده به شدت تاثیر می گذارد و یک سیستم پایدار در حضور اشباع محرک می تواند به یک سیستم

نایابدار تبدیل شود. از این رو مطالعه‌ی مساله‌ی توافق در حضور اشباع محرک مورد توجه محققان قرار گرفته است. در ادامه، مقالاتی که به حل مساله‌ی توافق در حضور اشباع محرک پرداخته‌اند، بررسی می‌شوند.

مساله توافق در حضور اشباع ورودی برای سیستم‌های خطی در مرجع [۱۷] مورد مطالعه قرار گرفته است. نویسنده‌گان مراجع [۱۹-۱۸] به حل مساله توافق برای سیستم چند عاملی مرتبه دوم در حضور اغتشاش و اشباع ورودی پرداخته‌اند. حل مساله‌ی توافق برای سیستم‌های چند عاملی مرتبه دوم ناهمگون در حضور اشباع ورودی در مرجع [۲۰] بررسی شده است. نویسنده‌گان در مرجع [۲۱] به حل مساله‌ی توافق سیستم‌های چندعاملی تاخیری مرتبه دوم با اشباع محرک پرداخته‌اند. همچنین برخی از مراجع، به حل مساله‌ی توافق در حضور اشباع ورودی با استفاده از رویکردهای تطبیقی پرداخته‌اند. به عنوان مثال، نویسنده‌گان مرجع [۲۲-۲۳] حل مساله‌ی توافق برای سیستم‌های چندعاملی خطی در حضور اشباع محرک و اغتشاش خارجی با رویکرد تطبیقی را بررسی کرده‌اند. مساله توافق برای سیستم‌های چندعاملی مرتبه بالا با اشباع ورودی در مراجع [۲۴-۳۱] بحث شده است. در مراجع [۲۴-۲۶]، دینامیک عامل‌ها به صورت خطی و دلخواه فرض شده است. همچنین گراف ارتباطی جهت دار در نظر گرفته شده است. حل مساله‌ی توافق برای سیستم‌های چند عاملی مرتبه بالا که دارای ترم‌های غیر خطی و اغتشاش خارجی هستند، در مراجع [۲۷-۳۱] مورد بحث قرار گرفته است.

بر اساس پژوهش‌هایی که تاکنون صورت گرفته است، طراحی کنترل کننده مبتنی بر رویت گر به منظور حل مساله‌ی توافق با رویکرد تطبیقی برای سیستم‌های چندعاملی غیرخطی مرتبه بالا در حضور اشباع نامتقارن ورودی و ترم‌های نایقینی مورد بررسی قرار نگرفته است. هدف ما در این مقاله طراحی کنترل کننده تطبیقی توزیع شده مقاوم برای دستیابی به توافق رهبر محور در سیستم‌های چند عاملی غیرخطی مرتبه بالا است.

در این مقاله، یک سیستم چند عاملی غیرخطی با معادلات دینامیکی مرتبه بالا در نظر گرفته شده است. عبارت غیرخطی عامل‌های پیرو شامل یک جمله غیرخطی معلوم و لیپشیتز و یک جمله غیرخطی نامعلوم است که ناشی از عدم قطعیت پارامترها یا ساده سازی مدل می‌باشد. اغتشاشات خارجی نیز در معادلات دینامیکی هر عامل در نظر گرفته شده‌اند. علاوه بر این، عامل‌های پیرو در معرض اشباع ورودی نامتقارن هستند و تمامی متغیرهای حالت قابل اندازه گیری مستقیم نمی‌باشند. همچنین برای جبران اثر عدم قطعیت‌های سیستم، به جای این که مطابق روش‌های کلاسیک کنترل مقاوم، حد بالایی عدم قطعیت‌های سیستم را به عنوان یکتابع مثبت مشخص در نظر گرفته شود، حدود بالای عدم قطعیت‌های سیستم به عنوان ثوابت مثبتی فرض می‌شوند که از طریق قوانین تطبیقی به دست می‌آیند. این رویکرد، محافظه‌کاری را به شدت کاهش می‌دهد و منجر به کاهش دامنه‌ی تابع علامت در قانون کنترلی می‌شود. برای این منظور، سطوح لغزش مناسبی پیشنهاد شده و کنترل کننده‌های مد لغزشی تطبیقی توزیع شده مبتنی بر رویت گر به گونه‌ای طراحی شده‌اند که توافق خروجی بین عوامل را علی‌رغم محدودیت اشباع نامتقارن ورودی و عدم قطعیت‌های مدل در معادلات دینامیکی هر عامل، تضمین می‌کنند. در این راستا قضیه‌ای ارائه شده و با استفاده از رویکرد لیاپانوفی ثابت شده است که علی‌رغم اشباع نامتقارن ورودی و عدم قطعیت‌های مدل، توافق خروجی حاصل خواهد شد و خطای توافق و خطای رویت گر به صفر همگرا می‌شوند. در نهایت، یک مثال کاربردی برای نشان دادن اثربخشی روش پیشنهادی ارائه شده است. نتایج شبیه سازی‌ها کاملاً دستاوردهای قانون پیشنهادی ارائه شده را تایید کرده‌اند. نوآوری‌های مقاله در مقایسه با مراجع موجود به صورت زیر خلاصه می‌شود:

- در مقایسه با مرجع [۱۷] عامل ها غیرخطی فرض شده اند.
- در مقایسه با مراجع [۱۸-۱۹] عامل ها با دینامیک دلخواه فرض شده است.
- در مقایسه با مراجع [۲۷-۳۱] رویتگر در نظر گرفته شده است.
- اشباع ورودی به صورت نامتقارن در مقاله حاضر لحاظ شده است.

ادامه مقاله به شرح زیر است: نظریه گراف در بخش دوم مرور شده است. در بخش سوم فرضیات مساله بیان شده است. قوانین کنترلی جهت حصول توافق خروجی و روند کامل اثبات در بخش چهارم مطرح شده است. نتایج شبیه سازی در بخش پنج آمده است و در نهایت نتیجه گیری در بخش ششم ارائه شده است.

۲- تئوری گراف

یک سیستم چند عاملی از چند عامل خودگردان که با هم در ارتباط هستند، تشکیل می شود. نحوه ارتباط عامل ها که شامل رد و بدل کردن اطلاعات است می تواند متفاوت باشد. نحوه این ارتباطات با یک گراف G مدل می شود. در حقیقت گراف G بیان می کند که عامل ها چگونه با هم یا با رهبر (در سیستم های رهبر محور) در ارتباط هستند. گراف $G(V, E, \bar{A})$ شامل سه عنصر V, E, \bar{A} است. عنصر $\{0, 1, 2, \dots, N\}$ نشان دهنده تعداد گرهای یا در حقیقت تعداد عامل ها می باشد. عنصر E از زوج (i, j) به صورت زیر تشکیل شده است:

به این صورت که $E = \{(i, j), i, j \in V\}$ اگر و فقط اگر عامل i بتواند از عامل j اطلاعات دریافت کند. عنصر \bar{A} یک ماتریس $N \times N$ است که اعضای این ماتریس نشانگر وجود یا عدم وجود ارتباط بین یک عامل و دیگر عامل ها است. ماتریس \bar{B} برابر است با $\bar{B} = diag\{b^1, b^2, \dots, b^N\}$ که این ماتریس ارتباط بین عامل ها و رهبر را در سیستم های چند عاملی رهبر محور مشخص می کند. اگر عامل i با رهبر در ارتباط باشد $b^i = 1$ و در غیر این صورت $b^i = 0$ می باشد.

فرض ۱: ماتریس \bar{B} نمی تواند صفر باشد و حداقل یکی از عامل های پیرو باید با عامل رهبر در ارتباط باشد.

۳- فرضیات مساله

یک سیستم چند عاملی که شامل یک عامل رهبر و N عامل پیرو است را در نظر بگیرید. معادلات دینامیکی عامل رهبر که با بالا نویس ۰ مشخص شده اند به صورت زیر می باشند:

$$\begin{cases} \dot{x}_m^0 = x_{m+1}^0 & m = 1, 2, \dots, n-1 \\ \dot{x}_n^0 = u \\ y^0 = x_1^0 \end{cases} \quad (1)$$

که در آن $x^0 = [x_1^0, x_2^0, \dots, x_n^0] \in D \subseteq R^n$ بردار حالت، $u^0 \in R$ سیگنال کنترلی و $y^0 \in R$ خروجی رهبر می باشند.

معادلات رهبر به فرم زیر نیز قابل بازنویسی می باشند:

$$\begin{cases} \dot{x}^0 = Ax^0 + Bu^0 \\ y^0 = Cx^0 \end{cases} \quad (2)$$

که در آن $u^0 \subseteq R$ $x^0 = [x_1^0, x_2^0, \dots, x_n^0] \in D \subseteq R^n$ بردار حالت و $y^0 \subseteq R$ خروجی رهبر می‌باشد. همچنین بردار سیگنال کنترلی رهبر می‌باشد که با تنظیم مناسب آن عملکرد دلخواه رهبر حاصل می‌شود. همچنین بردارهای $C = [1, 0, \dots, 0] \subseteq R^n$ ، $B = [0, \dots, 1]^T \subseteq R^n$ یک ماتریس مربعی به صورت زیر می‌باشد:

$$A = \begin{bmatrix} 0 & 1 & \dots & \dots & 0 \\ 0 & 0 & 1 & \dots & 0 \\ \vdots & \vdots & \ddots & & \vdots & 0 \\ 0 & 0 & \dots & & 0 & 0 \end{bmatrix} \quad (3)$$

معادلات دینامیکی عامل‌های پیرو به صورت زیر می‌باشند:

$$\begin{cases} \dot{x}_m^i = x_{m+1}^i & m = 1, 2, \dots, n-1 \\ \dot{x}_n^i = f_n^i(x^i, t) + \Delta f_n^i(x^i, t) + \delta_n^i(t) + \beta \phi(u^i(t)) \\ y^i = x_1^i \end{cases} \quad (4)$$

در این مقاله مقدار متغیر i نشان دهنده‌ی تعداد عامل‌ها $i = 1, 2, \dots, N$ می‌باشد. همچنین عبارت غیرخطی و نامشخص می‌باشد که ناشی از ساده سازی مدل و عدم قطعیت پارامترها می‌باشد و $\Delta f_n^i \in R$ عبارت غیرخطی و نامشخص می‌باشد که ناشی از ساده سازی مدل و عدم قطعیت پارامترها می‌باشد و $\delta_n^i \in R$ ضریب اغتشاشات خارجی وارد بر عامل i ام می‌باشد. β ضریب سیگنال کنترلی و $y^i \in R$ خروجی عامل i ام می‌باشد. $\phi(u^i(t))$ به صورت زیر تعریف شده است:

$$\phi(u^i(t)) = \begin{cases} u_H^i & u^i(t) > u_H^i \\ u^i(t) & -u_L^i \leq u^i(t) \leq u_H^i \\ -u_L^i & u^i(t) < -u_L^i \end{cases} \quad (5)$$

که u_H^i و u_L^i اعداد مثبتی می‌باشند و u_H^i و u_L^i حدود بالا و پایین اشباع در محرک i ام می‌باشند. تابع بیان شده در معادله‌ی (5) می‌تواند به صورت زیر بیان شود: [۳۲-۳۳]

$$\phi(u^i(t)) = \omega^i(u^i(t))u^i(t) \quad (6)$$

که

$$\omega^i(u^i(t)) = \begin{cases} \frac{u_H^i}{u^i(t)} & u^i(t) \geq u_H^i \\ 1 & -u_L^i \leq u^i(t) \leq u_H^i \\ \frac{-u_L^i}{u^i(t)} & u^i(t) \leq -u_L^i \end{cases} \quad (7)$$

از رابطه (7) نتیجه می شود که:

$$0 < \omega^i(u^i(t)) \leq 1 \quad (8)$$

تذکر ۱: طبق خاصیت چگالی اعداد حقیقی همواره یک مقدار ثابت ξ^i وجود دارد به نحوی که در معادله زیر صدق کند [۳۴]:

$$0 < \xi^i < \omega^i(u^i(t)) \leq 1 \quad \forall u^i(t), t \in [0, \infty] \quad (9)$$

معادلات دینامیکی عامل های پیرو نیز به صورت زیر قابل بازنویسی می باشند:

$$\begin{cases} \dot{x}^i = Ax^i + F^i(x^i, t) + \Delta F^i(x^i, t) + \bar{\delta}^i(t) + Bu^i \\ y^i = Cx^i \end{cases} \quad (10)$$

که در آن $F^i = [0, 0, \dots, f_n^i] \subseteq R^n$ بردار تابع غیرخطی معلوم عامل i ام می باشد. بردارهای $\bar{\delta}^i = [0, 0, \dots, \delta_n^i] \subseteq R^n$ و $\Delta F^i = [0, 0, \dots, \Delta f_n^i] \subseteq R^n$ به ترتیب نمایانگر بردار تابع غیرخطی نامعلوم و بردار اغتشاشات خارجی عامل i ام می باشند. $y^i \subseteq R$ و $u^i \subseteq R$ به ترتیب سیگنال کنترلی و بردار خروجی عامل i ام، می باشند. همچنین بردارهای $A = [1, 0, \dots, 0] \subseteq R^n$ ، $B = [0, \dots, \beta]^T \subseteq R^n$ یک ماتریس مربعی به صورت رابطه (۳) می باشد.

فرض ۲: نرم بردارهای غیرخطی و نامعلوم ΔF^i و $\bar{\delta}^i$ کراندار می باشند و در رابطه زیر صدق می کنند:

$$\|\Delta F^i(x^i, t)\| + \|\bar{\delta}^i(t)\| < \Lambda^i \quad (11)$$

که Λ^i ها پارامترهای مثبتی هستند که توسط قوانین تطبیقی بدست می آیند.

فرض ۳: بردار غیرخطی و معلوم F^i با ثابت L^i لیپشیتز می باشد و در رابطه زیر صدق می کند:

$$\|F^i(x^i, t) - F^i(\bar{x}^i, t)\| < L^i \|x^i - \bar{x}^i\| \quad (12)$$

در این مقاله هدف دست یابی به توافق خروجی می باشد. از آن جا که متغیرهای حالت عامل ها در دسترس نمی باشند، ابتدا باید با استفاده از رویت گرهای توزیع شده، متغیرهای حالت هر عامل تخمین زده شوند و سپس با استفاده از تخمین متغیرهای حالت هر عامل، کنترل کننده های توزیع شده طراحی شوند. در ادامه به طراحی رویت گرهای توزیع شده پرداخته می شود.

طراحی رویت گرهای توزیع شده

در این مرحله برای هر یک از عامل ها، رویت گر مناسب طراحی شده است. با توجه به تعریف بیان شده برای ماتریس های A, C ، زوج (A, C) کاملا رویت پذیر است. بنابراین رویت گر عامل رهبر به صورت زیر طراحی شده است:

$$\begin{cases} \hat{\dot{x}}^0 = A\hat{x}^0 + K(y^0 - \hat{y}^0) + Bu^0 \\ \hat{y}^0 = C\hat{x}^0 \end{cases} \quad (13)$$

رویت گر مربوط به هریک از عامل‌های پیرو نیز به صورت زیر پیشنهاد می‌شوند:

$$\begin{cases} \hat{\dot{x}}^i = A\hat{x}^i + F^i(\hat{x}^i, t) + K(y^i - \hat{y}^i) + Bu^i \\ \hat{y}^i = C\hat{x}^i \end{cases} \quad (14)$$

که در آن $\hat{x}^i = [\hat{x}_1^i, \hat{x}_2^i, \dots, \hat{x}_n^i] \in D \subseteq R^n$ و $\hat{x}^0 = [\hat{x}_1^0, \hat{x}_2^0, \dots, \hat{x}_n^0] \in D \subseteq R^n$ به ترتیب بردار تخمین متغیر حالت عامل رهبر و عامل‌های پیرو می‌باشدند. بردار $K = [k_1, \dots, k_n]^T \in R^{n \times 1}$ بهره‌ی رویت گر می‌باشد و باید به نحوی طراحی گردد که ماتریس $(A - KC)$ هرویتر باشد. همچنین بر اساس ایده‌ی رویت گر با بهره‌ی بالا، بردار K باید به اندازه کافی بزرگ انتخاب شود تا رویت گرهای طراحی شده عملکرد مطلوبی داشته باشند. بر اساس معادله‌ی لیپانوف برای هر ماتریس معین مثبت و متقارن P ، ماتریس معین مثبت Q وجود دارد به نحوی که:

$$(A - KC)^T P + P(A - KC) = -Q \quad (15)$$

معادلات رویت گرهای طراحی شده برای عامل‌های رهبر و پیرو در روابط (14) و (15) را می‌توان به صورت زیر بازنویسی نمود.
رویت گر عامل رهبر:

$$\begin{cases} \dot{\hat{x}}_m^0 = \hat{x}_{m+1}^0 + k_m(y^0 - \hat{y}^0) \\ \dot{\hat{x}}_n^0 = u^0 + k_n(y^0 - \hat{y}^0) \quad m=1,2,\dots,n-1 \\ \hat{y}^0 = \hat{x}_1^0 \end{cases} \quad (16)$$

و رویت گرهای عامل‌های پیرو:

$$\begin{cases} \dot{\hat{x}}_m^i = \hat{x}_{m+1}^i + k_m(y^i - \hat{y}^i) \\ \dot{\hat{x}}_n^i = f_n^i(\hat{x}^i, t) + \beta\phi(u^i(t)) + k_n(y^i - \hat{y}^i) \quad i=1,2,\dots,N \\ \hat{y}^i = \hat{x}_1^i \end{cases} \quad (17)$$

که $i=1,2,\dots,N$ و $m=1,2,\dots,n-1$

خطای رویت گر رهبر و عامل‌های پیرو $(z^i, z^0 \in R^n)$ و خطای توافق $e^i \in R^n$ به صورت زیر تعریف شده‌اند:

$$z^0 = x^0 - \hat{x}^0 \quad (18)$$

$$z^i = x^i - \hat{x}^i \quad (19)$$

$$e^i = \sum_{j=1}^N a_{ij}(\hat{x}^i - \hat{x}^j) + b^i(\hat{x}^i - \hat{x}^0) \quad (20)$$

پارامترهای a_{ij} و b^i با توجه به روابط گراف بیان شده در بخش دوم بدست می‌آیند. همچنین $z^0 = [z_1^0, z_2^0, \dots, z_n^0]^T$ و b^i با توجه به روابط گراف بیان شده در بخش دوم بدست می‌آیند. همچنین $e^i = [e_1^i, e_2^i, \dots, e_n^i]^T$ و $z^i = [z_1^i, z_2^i, \dots, z_n^i]^T$ می‌باشند.

تذکر ۲: در این مقاله هدف دست یابی به توافق خروجی می‌باشد بنابراین خطای توافق باید بر اساس تخمین متغیر حالت خروجی

تعريف شود. در صورتی که خطای توافق بر اساس تخمین متغیر حالت خروجی تعريف شود، باید پایداری دینامیک داخلی سیستم چند عاملی نیز مورد بررسی قرار گیرد. جهت جلوگیری از این امر در اینجا دینامیک خطای توافق بر اساس بردار تخمین متغیرهای حالت عاملها نوشته شده است، اما در نهایت با اعمال تغییر متغیریابان شده در رابطه (۲۷) توافق خروجی حاصل می شود.

در صورتی که خطای توافق و خطای رویت گرها به سمت صفر میل کنند، توافق حاصل شده است و خروجی های عاملها پیرو می توانند خروجی عامل رهبر را ردیابی کنند. هدف طراحی کنترل کننده های تطبیقی مقاوم با استفاده از تخمین متغیرهای حالت عاملها می باشد به نحوی که خطای رویت گر و خطای توافق به صفر همگرا شوند. از این رو معادلات دینامیک خطابه صورت زیر تشکیل می شوند. معادله دینامیک خطای رویت گر رهبر با توجه به معادله های (۲) و (۱۳) به صورت زیر می باشد:

$$\begin{aligned}\dot{z}^0 &= \dot{x}^0 - \hat{x}^0 \\ &= Ax^0 + Bu^0 - A\hat{x}^0 - Bu^0 - K(y^0 - \hat{y}^0) \\ &= Az^0 - K(y^0 - \hat{y}^0) \\ &= (A - KC)z^0\end{aligned}\quad (۲۱)$$

با استفاده از معادله های (۱۰) و (۱۴) معادله دینامیک خطای رویت گر هر یک از عاملها نیز به صورت زیر بدست آمده است:

$$\begin{aligned}\dot{z}^i &= \dot{x}^i - \hat{x}^i \\ &= Ax^i + F^i(x^i, t) + \Delta F^i(x^i, t) + \bar{\delta}^i + \\ &\quad B\phi(u^i) - A\hat{x}^i - F^i(\hat{x}^i, t) - B\phi(u^i) - K(y^i - \hat{y}^i) \\ &= Az^i + F^i(x^i, t) - F^i(\hat{x}^i, t) - K(y^i - \hat{y}^i) \\ &\quad + \Delta F^i(x^i, t) + \bar{\delta}^i \\ &= (A - KC)z^i + F^i(x^i, t) - F^i(\hat{x}^i, t) \\ &\quad + \Delta F^i(x^i, t) + \bar{\delta}^i\end{aligned}\quad (۲۲)$$

که $K = [k_1, \dots, k_n]^T \in R^{n \times 1}$ می باشد.

همچنین معادلات دینامیکی خطای توافق با توجه به معادلات (۱۳) و (۱۴) به صورت زیر حاصل شده اند:

$$\begin{aligned}\dot{e}^i &= (b^i + \sum_{j=1}^N a_{ij})(\dot{x}^i) - \sum_{j=1}^N a_{ij}(\dot{\hat{x}}^j) - b^i(\dot{\hat{x}}^o) \\ &= (b^i + \sum_{j=1}^N a_{ij}) \left(A\hat{x}^i + F^i(\hat{x}^i, t) + K(y^i - \hat{y}^i) + B\phi(u^i) \right) \\ &\quad - \left(\sum_{j=1}^N a_{ij} \right) \left(A\hat{x}^j + F^j(\hat{x}^j, t) + K(y^j - \hat{y}^j) + B\phi(u^j) \right) \\ &\quad - b^i \left(A\hat{x}^0 + K(y^0 - \hat{y}^0) + Bu^0 \right) \\ &= Ae^i + (b^i + \sum_{j=1}^N a_{ij})B\phi(u^i) - \\ &\quad \sum_{j=1}^N a_{ij}B\phi(u^j) - b^iBu^0 + \Pi^i\end{aligned}\quad (۲۳)$$

که در آن Π^i برابر است با:

$$\begin{aligned} \Pi^i = & (b^i + \sum_{j=1}^N a_{ij}) \left(F^i(\hat{x}^i, t) + K(y^i - \hat{y}^i) \right) \\ & - \left(\sum_{j=1}^N a_{ij} \right) \left(F^j(\hat{x}^j, t) + K(y^j - \hat{y}^j) \right) \\ & - b^i \left(K(y^0 - \hat{y}^0) \right) \end{aligned} \quad (24)$$

خطای توافق بیان شده در رابطه (۲۳) می تواند به صورت زیر نوشته شود:

$$\begin{cases} \dot{e}_1^i = e_2^i + \tilde{k}_1 \\ \dot{e}_2^i = e_3^i + \tilde{k}_2 \\ \vdots \\ \dot{e}_{n-1}^i = e_n^i + \tilde{k}_{n-1} \\ \dot{e}_n^i = (b^i + \sum_{j=1}^N a_{ij}) (f_n^i(\hat{x}^i, t) + \beta \phi(u^i)) \\ \quad - \sum_{j=1}^N a_{ij} (f_n^j(\hat{x}^j, t) + \beta \phi(u^j)) - b^i u^0 + \tilde{k}_n \end{cases} \quad (25)$$

که در آن \tilde{k}_m برای $m = 1, 2, \dots, n$ برابر است با:

$$\begin{aligned} \tilde{k}_m = & (b^i + \sum_{j=1}^N a_{ij}) k_m (y^i - \hat{y}^i) \\ & - \sum_{j=1}^N a_{ij} k_m (y^j - \hat{y}^j) - b^i k_m (y^0 - \hat{y}^0) \end{aligned} \quad (26)$$

به منظور طراحی کنترل کننده برای سیستم فوق از تغییر متغیر زیر استفاده شده است:

$$\begin{aligned} \varepsilon_1^i &= e_1^i \\ \varepsilon_2^i &= e_2^i + \tilde{k}_1 \\ \varepsilon_3^i &= e_3^i + \tilde{k}_2 + \dot{\tilde{k}}_1 \\ &\vdots \\ \varepsilon_{n-1}^i &= e_{n-1}^i + \tilde{k}_{n-2} + \dot{\tilde{k}}_{n-3} + \cdots + \dot{\tilde{k}}_1^{[n-3]} \\ \varepsilon_n^i &= e_n^i + \tilde{k}_{n-1} + \dot{\tilde{k}}_{n-2} + \cdots + \dot{\tilde{k}}_1^{[n-2]} \end{aligned} \quad (27)$$

تذکر ۳: عبارت داخل براکت مرتبه‌ی مشتق می‌باشد.

تذکر ۴: همانصور که بیان شد در این مقاله هدف دست یابی به توافق خروجی می‌باشد. با توجه به این که خطای توافق بر اساس

تحمین متغیر حالت‌ها تعریف شده‌اند با استفاده از این تغییر متغیر توافق خروجی حاصل می‌شود.

بنابراین دینامیک خطای جدید به صورت زیر حاصل می‌شود:

$$\begin{cases} \dot{\mathcal{E}}_m^i = \mathcal{E}_{m+1}^i & m=1, \dots, n-1 \\ \dot{\mathcal{E}}_n^i = \dot{\mathcal{E}}_n^i + \sum_{l=1}^{n-1} \tilde{k}_l^{[n-l]} \end{cases} \quad (28)$$

در این مقاله هدف طراحی قوانین کنترلی تطبیقی مقاوم بر مبنای مدل لغزشی می باشد به گونه ای که علی رغم وجود اشباع نامتقارن ورودی و عدم قطعیت های سیستم، توافق خروجی حاصل شود.

۴- طراحی قوانین کنترلی توزیع شده

در این بخش، هدف طراحی قوانین کنترلی توزیع شده برای هریک از عامل ها بر اساس ایده مدل لغزشی می باشد. کنترل مدل لغزشی از دوفاز اساسی تشکیل شده است. فاز دست یابی و فاز لغزش. برای این منظور، نخست باید سطح لغزش مناسب به گونه ای طراحی شود که معادلات حرکت بر روی سطح (معادلات کاهش مرتبه یافته) پایدار باشند و سپس با استفاده از سطح لغزش طراحی شده، قوانین کنترلی به گونه ای طراحی شوند که مسیر های حالت سیستم به سطح لغزش دست یابند و روی آن باقی بمانند. ساختار سطح لغزش پیشنهادی برای عامل پیرو i ام به صورت زیر می باشد:

$$\sigma^i = \mathcal{E}_n^i + \sum_{m=1}^{n-1} c_m^i \mathcal{E}_m^i \quad (29)$$

که $\sigma^i \in R$ سطح لغزش عامل پیرو i ام می باشد و c_m^i ها برای $m=1, 2, \dots, n-1$ و $i=1, 2, \dots, N$ پارامتر های طراحی می باشند و باید به نحوی طراحی گردند که چند جمله ای زیر برای هر یک از عوامل هرویت باشد:

$$R = (s)^n + c_{n-1}^i (s)^{n-1} + \dots + c_1^i \quad (30)$$

زمانی که مسیر های حالت سیستم به سطح لغزش دست یابند، $\sigma^i = 0$ می شود، بنابراین داریم:

$$\sigma^i = \mathcal{E}_n^i + \sum_{m=1}^{n-1} c_m^i \mathcal{E}_m^i = 0 \quad (31)$$

با توجه به معادله فوق رابطه زیر بر روی سطح لغزش برقرار است:

$$\mathcal{E}_n^i = - \sum_{m=1}^{n-1} c_m^i \mathcal{E}_m^i \quad (32)$$

با استفاده از معادلات (۲۸) و (۳۲) معادلات کاهش مرتبه یافته (معادلات حرکت بر روی سطح) به صورت زیر نوشته می شوند:

$$\underbrace{\begin{bmatrix} \dot{\mathcal{E}}_1^i \\ \dot{\mathcal{E}}_2^i \\ \vdots \\ \dot{\mathcal{E}}_{n-1}^i \\ \dot{\mathcal{E}}_{rd}^i \end{bmatrix}}_{\hat{A}^i} = \underbrace{\begin{bmatrix} 0 & 1 & 0 & 0 & \dots \\ 0 & 0 & 1 & 0 & \dots \\ \cdot & \cdot & \cdot & \cdot & \cdot \\ \cdot & \cdot & \cdot & \cdot & \cdot \\ -c_1^i & -c_2^i & \dots & -c_{n-1}^i & \end{bmatrix}}_{\hat{A}^i} \underbrace{\begin{bmatrix} \mathcal{E}_1^i \\ \mathcal{E}_2^i \\ \vdots \\ \mathcal{E}_{n-1}^i \\ \mathcal{E}_{rd}^i \end{bmatrix}}_{\varepsilon_{rd}^i} \quad (33)$$

که $\varepsilon_{rd}^i = [\varepsilon_1^i, \varepsilon_2^i, \dots, \varepsilon_{n-1}^i]^T \in R^{n-1}$ بردار حالت معادلات کاهش مرتبه یافته می‌باشد. اگر بردار حالت معادلات کاهش مرتبه یافته به صفر همگرا شود آنگاه طبق معادله‌ی (۳۲) ε_n^i نیز به صفر همگرا می‌شود. از آنجا که $e_1^i = e_1^i$ ، با صفر شدن ε_n^i ها نیز به صفر همگرا می‌شود. از آنجا که $e_1^i = \hat{e}_1^i$ است، توافق مورد نظر که توافق خروجی است حاصل می‌شود. برای این منظور معادلات کاهش مرتبه یافته‌ی (۳۳) باید پایدار مجانبی باشند. بنابراین در صورتی که ماتریس $\hat{A} \in R^{(n-1) \times (n-1)}$ در معادله‌ی (۳۳) هرویتز باشد، معادلات کاهش مرتبه یافته‌ی (۳۳) پایدار مجانبی می‌باشند. از این رو باید پارامترهای طراحی به گونه‌ای انتخاب شوند که ماتریس \hat{A} هرویتز باشد.

قضیه ۱: یک سیستم چند عاملی رهبر محور با معادلات ذکر شده در روابط (۱) و (۴) را در نظر بگیرید، قوانین کنترلی تطبیقی توزیع شده (۳۴) با قوانین تطبیقی بیان شده در معادلات (۳۶) و (۳۷)، توافق خروجی بین عامل‌ها را تضمین می‌کنند.

$$u^i = -\frac{\tau}{\beta(b^i + \sum_{j=1}^N a_{ij})} \xi_1^i \mu^i \operatorname{sgn}(\sigma^i) \quad (34)$$

که $\tau > 1$ می‌باشد و

$$\begin{aligned} \mu^i = & \left| \sum_{m=1}^{n-1} c_m^i \varepsilon_{m+1}^i \right| + \left| f_n^i(b^i + \sum_{j=1}^N a_{ij}) - \sum_{j=1}^N a_{ij} f_n^j \right| \\ & + \left| -\sum_{j=1}^N a_{ij} \beta \phi(u^j) - b^i u^o \right| + \left| \sum_{l=1}^{n-1} \tilde{k}_l^{[n-l]} \right| + \left| \tilde{k}_n \right| \end{aligned} \quad (35)$$

همچنین قوانین تطبیقی عبارتند از:

$$\dot{\xi}_1^i = \tau \mu^i (\xi_1^i)^3 |\sigma^i| \quad (36)$$

$$\dot{\hat{\Lambda}}^i = \|z^i\| \|P\| \quad (37)$$

اثبات: تابع زیر به عنوان کاندید تابع لیپانوف عامل i ام در نظر گرفته می‌شود:

$$\begin{aligned} V^i = & \frac{1}{2} (\sigma^i)^2 + \frac{1}{2} (\tilde{\Lambda}^i)^2 + \frac{1}{2} (\xi_2^i)^2 \\ & + \frac{b^i}{2} (z^0)^T P z^0 + \frac{1}{2} (z^i)^T P z^i \quad i = 1, 2, \dots, N \end{aligned} \quad (38)$$

که $\tilde{\Lambda}^i = \hat{\Lambda}^i - \Lambda^i$ و $\xi_2^i = (\xi_1^i)^{-1} - (\xi_1^i)^{-1}$. تخمین ξ_1^i می‌باشد. ساختار تابع لیپانوف پیشنهادی علاوه بر معادلات سطح لغزش، خطای تخمین رویت گرها و پارامترهای تطبیقی را نیز شامل می‌شود.

با مشتق گیری از تابع لیپانوف داریم:

$$\begin{aligned}\dot{V}^i &= \sigma^i \dot{\sigma}^i + \tilde{\Lambda}^i \dot{\tilde{\Lambda}}^i + \xi_2^i \dot{\xi}_2^i + \\ &+ \frac{b^i}{2} \left((\dot{z}^0)^T P z^0 + (z^0)^T P \dot{z}^0 \right) \\ &+ \frac{1}{2} \left((\dot{z}^i)^T P z^i + (z^i)^T P \dot{z}^i \right)\end{aligned}\quad (۳۹)$$

با توجه به معادلات (۲۵)، (۲۸) و (۲۹) مشتق سطح لغزش برابر است با:

$$\begin{aligned}\dot{\sigma}^i &= \dot{\varepsilon}_n^i + \sum_{k=1}^{n-1} c_m^i \varepsilon_{m+1}^i \\ &= \dot{\varepsilon}_n^i + \sum_{l=1}^{n-1} \tilde{k}_l^{[n-l]} + \sum_{k=1}^{n-1} c_m^i \varepsilon_{m+1}^i \\ &= (b^i + \sum_{j=1}^N a_{ij}) (f_n^i(\hat{x}^i, t) + \beta \phi(u^i)) \\ &\quad - \sum_{j=1}^N a_{ij} (f_n^j(\hat{x}^j, t) + \beta \phi(u^j)) - b^i u^0 + \tilde{k}_n \\ &\quad + \sum_{l=1}^{n-1} \tilde{k}_l^{[n-l]} + \sum_{m=1}^{n-1} c_m^i \varepsilon_{m+1}^i\end{aligned}\quad (۴۰)$$

با جایگذاری معادله فوک در رابطه (۳۹) داریم:

$$\begin{aligned}\dot{V}^i &= \sigma^i \left((b^i + \sum_{j=1}^N a_{ij}) (f_n^i(\hat{x}^i, t) + \beta \phi(u^i)) \right) \\ &\quad - \sigma^i \left(\sum_{j=1}^N a_{ij} (f_n^j(\hat{x}^j, t) + \beta \phi(u^j)) + b^i u^0 \right) \\ &\quad + \sigma^i \left(\sum_{l=1}^{n-1} \tilde{k}_l^{[n-l]} + \sum_{m=1}^{n-1} c_m^i \varepsilon_{m+1}^i + \tilde{k}_n \right) + \tilde{\Lambda}^i \dot{\tilde{\Lambda}}^i + \xi_2^i \dot{\xi}_2^i \\ &\quad + \frac{b^i}{2} \left((\dot{z}^0)^T P z^0 + (z^0)^T P \dot{z}^0 \right) \\ &\quad + \frac{1}{2} \left((\dot{z}^i)^T P z^i + (z^i)^T P \dot{z}^i \right)\end{aligned}\quad (۴۱)$$

لذا می توان نوشت:

$$\begin{aligned} \dot{V}^i &\leq \left| \sigma^i \left(\left(b^i + \sum_{j=1}^N a_{ij} \right) (f_n^i(\hat{x}^i, t) - \sum_{j=1}^N a_{ij} f_n^j(\hat{x}^j, t)) \right. \right. \\ &\quad \left. \left. + |\sigma^i| (-\beta \phi(u^j)) - b^i u^0 \right) \right| \\ &\quad + \left| \sigma^i \left(\left| \sum_{l=1}^{n-1} \tilde{k}_l^{[n-l]} \right| + \left| \sum_{m=1}^{n-1} c_m^i \varepsilon_{m+1}^i \right| + \left| \tilde{k}_n^i \right| \right) + \sigma^i \left((b^i + \sum_{j=1}^N a_{ij}) \beta \phi(u^i) \right) \right. \\ &\quad \left. + \tilde{\Lambda}^i \dot{\tilde{\Lambda}}^i + \xi_2^i \dot{\xi}_2^i \right. \\ &\quad \left. + \frac{b^i}{2} \left((\dot{z}^0)^T P z^0 + (z^0)^T P \dot{z}^0 \right) \right. \\ &\quad \left. + \frac{1}{2} \left((\dot{z}^i)^T P z^i + (z^i)^T P \dot{z}^i \right) \right) \end{aligned} \quad (42)$$

با توجه به رابطه‌ی داده شده برای μ^i داریم:

$$\begin{aligned} \dot{V}^i &\leq \left| \sigma^i \left| \mu^i + \sigma^i \left((b^i + \sum_{j=1}^N a_{ij}) \beta \phi(u^i) \right) + \xi_2^i \dot{\xi}_2^i \right. \right. \\ &\quad \left. \left. + \frac{b^i}{2} \left((\dot{z}^0)^T P z^0 + (z^0)^T P \dot{z}^0 \right) \right. \right. \\ &\quad \left. \left. + \frac{1}{2} \left((\dot{z}^i)^T P z^i + (z^i)^T P \dot{z}^i \right) + \tilde{\Lambda}^i \dot{\tilde{\Lambda}}^i \right) \right| \end{aligned} \quad (43)$$

با استفاده از رابطه‌ی بیان شده در معادله‌ی (۶) داریم:

$$\begin{aligned} \dot{V}^i &\leq \left| \sigma^i \left| \mu^i + \sigma^i \left((b^i + \sum_{j=1}^N a_{ij}) \omega^i(u^i) \beta u^i \right) + \xi_2^i \dot{\xi}_2^i \right. \right. \\ &\quad \left. \left. + \frac{b^i}{2} \left((\dot{z}^0)^T P z^0 + (z^0)^T P \dot{z}^0 \right) \right. \right. \\ &\quad \left. \left. + \frac{1}{2} \left((\dot{z}^i)^T P z^i + (z^i)^T P \dot{z}^i \right) + \tilde{\Lambda}^i \dot{\tilde{\Lambda}}^i \right) \right| \end{aligned} \quad (44)$$

با جایگذاری قوانین کنترلی ارائه شده در رابطه‌ی (۳۴) در معادله‌ی فوق داریم:

$$\begin{aligned} \dot{V}^i &\leq \left| \sigma^i \left| \mu^i - \sigma^i \left(\omega^i(u^i) \tau \xi_1^i \mu^i \operatorname{sgn}(\sigma^i) \right) + \xi_2^i \dot{\xi}_2^i \right. \right. \\ &\quad \left. \left. + \frac{b^i}{2} \left((\dot{z}^0)^T P z^0 + (z^0)^T P \dot{z}^0 \right) \right. \right. \\ &\quad \left. \left. + \frac{1}{2} \left((\dot{z}^i)^T P z^i + (z^i)^T P \dot{z}^i \right) + \tilde{\Lambda}^i \dot{\tilde{\Lambda}}^i \right) \right| \end{aligned} \quad (45)$$

با توجه به رابطه‌ی بیان شده در معادله‌ی (۹)، داریم:

$$\xi^i < \omega^i(u^i(t)) \rightarrow -\omega^i(u^i(t)) < -\xi^i \quad (46)$$

بنابراین با توجه به مثبت بودن عبارت‌های $\xi^i \mu^i \tau$ می‌توان نوشت:

$$-\omega^i(u^i(t))\tau\mu^i\xi_1^i < -\xi^i\tau\mu^i\xi_1^i \quad (47)$$

با جایگذاری معادله فوک در رابطه (۴۵) داریم:

$$\begin{aligned} \dot{V}^i &\leq |\sigma^i|\mu^i - |\sigma^i|(\xi^i\tau\xi_1^i\mu^i) + \xi_2^i\xi_2^i \\ &+ \frac{b^i}{2}((\dot{z}^0)^T Pz^0 + (z^0)^T P\dot{z}^0) \\ &+ \frac{1}{2}((\dot{z}^i)^T Pz^i + (z^i)^T P\dot{z}^i) + \tilde{\Lambda}^i\dot{\Lambda}^i \end{aligned} \quad (48)$$

با توجه به تعریف ξ_2^i داریم:

$$\dot{\xi}_2^i = -(\xi_1^i)^{-2}\dot{\xi}_1^i \quad (49)$$

با جایگذاری رابطه فوک در رابطه (۴۸) داریم:

$$\begin{aligned} \dot{V}^i &\leq |\sigma^i|\mu^i - |\sigma^i|(\xi^i\tau\xi_1^i\mu^i) - \xi_2^i(\xi_1^i)^{-2}\dot{\xi}_1^i \\ &+ \frac{b^i}{2}((\dot{z}^0)^T Pz^0 + (z^0)^T P\dot{z}^0) \\ &+ \frac{1}{2}((\dot{z}^i)^T Pz^i + (z^i)^T P\dot{z}^i) + \tilde{\Lambda}^i\dot{\Lambda}^i \end{aligned} \quad (50)$$

با جایگذاری قوانین تطبیقی (۳۶) در معادله فوک بدست می آوریم:

$$\begin{aligned} \dot{V}^i &\leq |\sigma^i|\mu^i - |\sigma^i|(\xi^i\tau\xi_1^i\mu^i) - \tau\mu^i\xi_2^i\xi_1^i|\sigma^i| \\ &+ \frac{b^i}{2}((\dot{z}^0)^T Pz^0 + (z^0)^T P\dot{z}^0) \\ &+ \frac{1}{2}((\dot{z}^i)^T Pz^i + (z^i)^T P\dot{z}^i) + \tilde{\Lambda}^i\dot{\Lambda}^i \end{aligned} \quad (51)$$

با توجه به تعریف $\xi_2^i = (\xi_1^i)^{-1} - \xi^i$ خواهیم داشت:

$$\begin{aligned}
 \dot{V}^i &\leq |\sigma^i| |\mu^i - |\sigma^i| (\xi^i \tau \xi_1^i \mu^i) - \tau \mu^i \xi_1^i ((\xi_1^i)^{-1} - \xi^i) | \sigma^i | \\
 &+ \frac{b^i}{2} ((\dot{z}^0)^T P z^0 + (z^0)^T P \dot{z}^0) \\
 &+ \frac{1}{2} ((\dot{z}^i)^T P z^i + (z^i)^T P \dot{z}^i) + \tilde{\Lambda} \dot{\tilde{\Lambda}}^i \\
 &\leq -|\sigma^i| \mu^i (\tau - 1) \\
 &+ \frac{b^i}{2} ((\dot{z}^0)^T P z^0 + (z^0)^T P \dot{z}^0) \\
 &+ \frac{1}{2} ((\dot{z}^i)^T P z^i + (z^i)^T P \dot{z}^i) + \tilde{\Lambda}^i \dot{\tilde{\Lambda}}^i
 \end{aligned} \tag{52}$$

با جایگذاری دینامیک خطای رویت گرها از معادلات (۲۱) و (۲۲) داریم:

$$\begin{aligned}
 \dot{V}^i &\leq -|\sigma^i| \mu^i (\tau - 1) \\
 &+ \frac{b^i}{2} (((A - KC) z^0)^T P z^0 + (z^0)^T P ((A - KC) z^0)) \\
 &+ \frac{1}{2} ((A - KC) z^i + F^i(x^i, t) - F^i(\hat{x}^i, t) + \Delta F^i + \bar{\delta}^i)^T P z^i \\
 &+ \frac{1}{2} (z^i)^T P ((A - KC) z^i + F^i(x^i) - F^i(\hat{x}^i) + \Delta F^i + \bar{\delta}^i) \\
 &+ \tilde{\Lambda}^i \dot{\tilde{\Lambda}}^i
 \end{aligned} \tag{53}$$

با توجه به معادله لیپانوف بیان شده در رابطه (۱۵) می توان نوشت:

$$\begin{aligned}
 \dot{V}^i &\leq -|\sigma^i| \mu^i (\tau - 1) \\
 &- \frac{b^i}{2} ((z^0)^T Q z^0) - \frac{1}{2} (z^i)^T Q z^i \\
 &+ (z^i)^T P (F^i(x^i, t) - F^i(\hat{x}^i, t) + \Delta F^i + \bar{\delta}^i) \\
 &+ \tilde{\Lambda}^i \dot{\tilde{\Lambda}}^i
 \end{aligned} \tag{54}$$

با توجه به لیپشیتز بودن بردارهای F^i و روابط (۱۱) و (۱۲) داریم:

$$\begin{aligned}
 \dot{V}^i &\leq -|\sigma^i| \mu^i (\tau - 1) \\
 &- \frac{b^i}{2} \left(\lambda_{\min}(Q) \|z^0\|^2 \right) - \frac{1}{2} \lambda_{\min}(Q) \|z^i\|^2 \\
 &+ L^i \|z^i\|^2 \|P\| + \Lambda^i \|z^i\| \|P\| + \tilde{\Lambda}^i \dot{\tilde{\Lambda}}^i
 \end{aligned} \tag{55}$$

که $\lambda_{\min}(Q)$ کوچکترین مقدار ویژه ماتریس Q می باشد.

با توجه به تعریف $\tilde{\Lambda}^i$ داریم:

$$\dot{\tilde{\Lambda}}^i = \dot{\hat{\Lambda}}^i \tag{56}$$

با جایگذاری $\Lambda^i = \hat{\Lambda}^i - \tilde{\Lambda}^i$ و معادله (۵۶) در رابطه (۵۵) داریم:

$$\begin{aligned}\dot{V}^i &\leq -|\sigma^i| \mu^i (\tau - 1) \\ &- \frac{b^i}{2} \left(\lambda_{\min}(Q) \|z^0\|^2 \right) - \frac{1}{2} \lambda_{\min}(Q) \|z^i\|^2 \\ &+ L^i \|z^i\|^2 \|P\| + (\hat{\Lambda}^i - \tilde{\Lambda}^i) \|z^i\| \|P\| + \tilde{\Lambda}^i \dot{\Lambda}^i\end{aligned}\quad (57)$$

با جایگذاری قوانین تطبیقی (۳۷) داریم:

$$\begin{aligned}\dot{V}^i &\leq -|\sigma^i| \mu^i (\tau - 1) \\ &- \frac{b^i}{2} \left(\lambda_{\min}(Q) \|z^0\|^2 \right) - \frac{1}{2} \lambda_{\min}(Q) \|z^i\|^2 \\ &+ L^i \|z^i\|^2 \|P\| + \hat{\Lambda}^i \|z^i\| \|P\|\end{aligned}\quad (58)$$

با توجه به این که عبارت $-\frac{b^i}{2} \left(\lambda_{\min}(Q) \|z^0\|^2 \right)$ همواره منفی است، می توان نوشت:

$$\begin{aligned}\dot{V}^i &\leq -|\sigma^i| \mu^i (\tau - 1) \\ &- \frac{1}{2} \lambda_{\min}(Q) \|z^i\|^2 + L^i \|z^i\|^2 \|P\| + \hat{\Lambda}^i \|z^i\| \|P\|\end{aligned}\quad (59)$$

معادله‌ی فوق را می‌توان به صورت زیر نوشت:

$$\begin{aligned}\dot{V}^i &\leq -h^i \\ &- \frac{1}{2} \lambda_{\min}(Q) \|z^i\|^2 + L^i \|z^i\|^2 \|P\| + \hat{\Lambda}^i \|z^i\| \|P\|\end{aligned}\quad (60)$$

که در آن $h^i = |\sigma^i| \mu^i (\tau - 1)$ می‌باشد و در صورتی که $\tau > 1$ انتخاب شود تابع h^i همواره مثبت می‌باشد. همچنین برای ناحیه عبارت $\|z^i\| \geq \frac{\hat{\Lambda}^i \|P\|}{\frac{1}{2} \lambda_{\min}(Q) - L^i \|P\|} = \bar{\lambda}^i$ $i = 1, 2, \dots, N$

می‌باشد بنابراین می‌توان نوشت:

$$\dot{V}^i \leq -h^i \quad \forall \|z^i\| \geq \bar{\lambda}^i \quad (61)$$

با انتگرال گیری از طرفین معادله‌ی فوق داریم:

$$V^i(t) - V^i(0) \leq - \int_0^t h^i(t) \quad (62)$$

با توجه به این که $V^i(0)$ دارای یک مقدار محدود می‌باشد و همچنین \dot{V}^i تابعی منفی می‌باشد، می‌توان نتیجه گرفت که تابع

$V^i(t)$ یک تابع غیر افزایشی می‌باشد. بنابراین طبق لم باربالات [۳۵] داریم:

$$\lim_{t \rightarrow \infty} h^i(t) = 0 \Rightarrow \lim_{t \rightarrow \infty} (|\sigma^i| \mu^i (\tau - 1)) = 0 \quad (63)$$

با توجه به این که τ^i و μ^i مقادیر ثابتی هستند از معادله‌ی فوق می‌توان نتیجه گرفت که:

$$\lim_{t \rightarrow \infty} \sigma^i(t) = 0 \quad (64)$$

همچنین با توجه به تعریف سطع لغش می‌توان نتیجه گرفت که $\lim_{t \rightarrow \infty} \varepsilon^i(t) = [\varepsilon_1^i, \varepsilon_2^i, \dots, \varepsilon_n^i] = [e_1^i, e_2^i, \dots, e_n^i]$. بنابراین با توجه به این که $e_1^i = e^i$ می‌توان نتیجه گرفت که مولفه‌ی اول بردار خطاب به صفر همگرا می‌شود و توافق خروجی حاصل می‌شود.

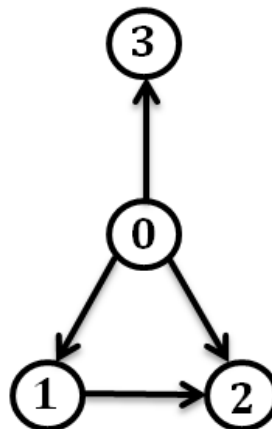
تذکر ۵: به علت استفاده از تابع علامت در قوانین کنترلی طراحی شده، سیگنال کنترلی دارای چترینگ می‌باشد. از این رو برای حذف چترینگ، سیگنال کنترلی با یک تابع پیوسته، تقریب زده شده است و در شبیه‌سازی‌ها از آن استفاده شده است.

$$u^i = -\frac{\tau}{\beta(b^i + \sum_{j=1}^N a_{ij})} \xi^i \mu^i \tanh\left(\frac{\sigma^i}{\rho}\right) \quad (65)$$

یک مقدار مثبت کوچک می‌باشد.

۵- شبیه‌سازی

در این قسمت با ارائه‌ی یک مثال عملی به ارزیابی عملکرد سیگنال کنترلی ارائه شده پرداخته شده است. در اینجا یک سامانه‌ی چند عاملی متشکل از چهار زیردریایی در نظر گرفته شده است. یک زیردریایی به عنوان عامل رهبر و سه زیر دریایی به عنوان عامل‌های پیرو فرض شده است. عامل‌ها تحت گراف داده شده در شکل ۱ با یکدیگر در ارتباط هستند.



شکل ۱. توبولوژی گراف ارتباطی

برای راحتی در طراحی کنترل کننده می‌توان کل سیستم زیردریایی را به سه زیر سیستم مستقل از یکدیگر به صورت زیر سیستم فرمان، زیر سیستم سرعت و زیر سیستم غواصی تفکیک کرد و سپس برای هر کدام کنترل کننده‌ای مجزا طراحی نمود. در اینجا تنها زیر سیستم فرمان در نظر گرفته شده است. بر اساس مرجع [۳۶] معادله‌ی دینامیکی زیر سیستم فرمان هر یک از زیردریایی‌های پیرو به صورت زیر نوشته شده است:

$$\begin{cases} \dot{\psi}^i = r^i \\ \dot{r}^i = f^i(r^i) + \beta\varphi(u^i) + \delta^i \quad i=1,2,3 \\ y^i = \psi^i \end{cases} \quad (66)$$

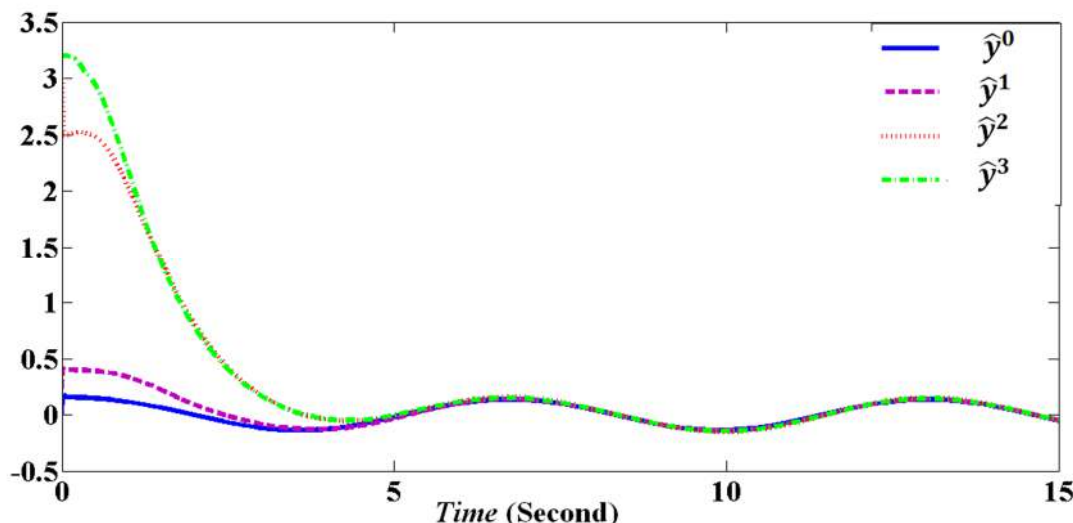
که ψ^i و r^i متغیرهای حالت عامل i ام می باشند و به ترتیب بیانگر زاویه‌ی فرمان و سرعت زاویه‌ی حول محور قائم زیردریایی می باشند. u^i سیگنال کنترلی می باشد. همچنین $f^i(r^i) = -1.538r^i|r^i| - 0.01255r^i$ عبارت غیرخطی معلوم و مشخص می باشد و $\beta = -5.933$ یک ضریب ثابت می باشد. $(\delta^i(t))$ بیانگر اغتشاشات خارجی سیستم می باشد و برابر است با $v^i = 0.1\sin(t)$. همچنین $\delta^i(t) = v^i|r^i|$ می باشد:

$$\begin{cases} \dot{\psi}^0 = r^0 \\ \dot{r}^0 = u^0 \\ y^0 = \psi^0 \end{cases} \quad (67)$$

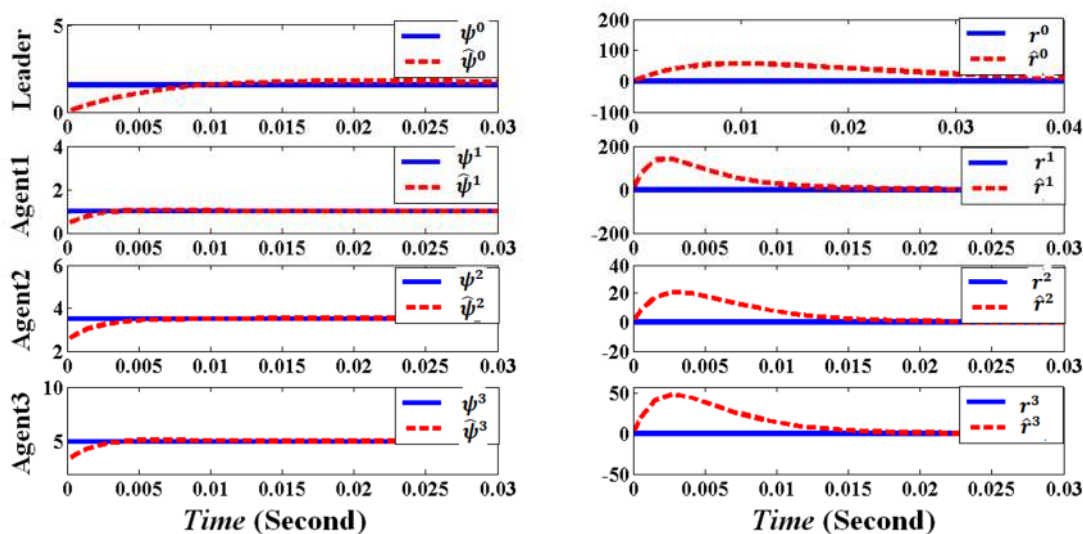
u^0 سیگنال کنترلی رهبر می باشد و به صورت $u^0 = -\frac{\sin(\psi^0)}{1 + \exp(-t)}$ تعریف شده است که منجر به ایجاد نوساناتی با دامنه و فرکانس مشخص در معادلات دینامیکی رهبر می گردد. شبیه سازی ها به ازای مقادیر زیر صورت گرفته است:

$$\begin{aligned} c_1^i &= 1 \\ \psi^0(0) &= pi/2, \psi^1(0) = 1.2, \psi^2(0) = 3.5, \psi^3(0) = 5 \\ \hat{\psi}^0(0) &= 0, \hat{\psi}^1(0) = .4, \hat{\psi}^2(0) = 2.5, \hat{\psi}^3(0) = 3.2 \\ r^0(0) &= 0, r^1(0) = 0, r^2(0) = 0, r^3(0) = 0 \quad \hat{r}^0(0) = 0, \hat{r}^1(0) = 0, \hat{r}^2(0) = 0, \hat{r}^3(0) = 0 \\ u_L^i &= -3, u_H^i = 3 \quad \text{- فرض شده است.} \end{aligned}$$

اشکال ۲ تا ۵ نتایج شبیه سازی ها را نشان می دهند. پاسخ زمانی تخمین متغیرهای حالت خروجی عامل ها در شکل ۲ نشان داده شده است. همانطور که مشاهده می شود تخمین های متغیرهای حالت خروجی عامل های پیرو ($\hat{\psi}^i$) به تخمین متغیر حالت خروجی ($\hat{\psi}^0$) عامل رهبر همگرا شده‌اند و توافق خروجی علی رغم به اشباع رفتن سیگنال کنترلی و اغتشاشات خارجی وارد بر سیستم حاصل شده است. در شکل ۳ پاسخ زمانی رویت گرها رسم شده است. نمودار توپر پاسخ زمانی متغیرهای حالت عامل ها و نمودار نقطه چین قرمز رنگ پاسخ زمانی تخمین متغیرهای حالت عامل ها را نشان می دهد. متغیر حالت اول عامل ها ($\hat{\psi}^1$) و تخمیشان ($\hat{\psi}^1$) در نمودار سمت راست و متغیر حالت دوم عامل ها ($\hat{\psi}^2$) و تخمیشان ($\hat{\psi}^2$) در نمودار سمت چپ ترسیم شده‌اند. همانطور که نشان داده شده است رویت گرها عملکرد مناسبی داشته‌اند و بعد از مدت زمان اندکی مقدار تخمین زده شده متغیرهای حالت عامل ها به مقادیر واقعیشان همگرا شده‌اند.



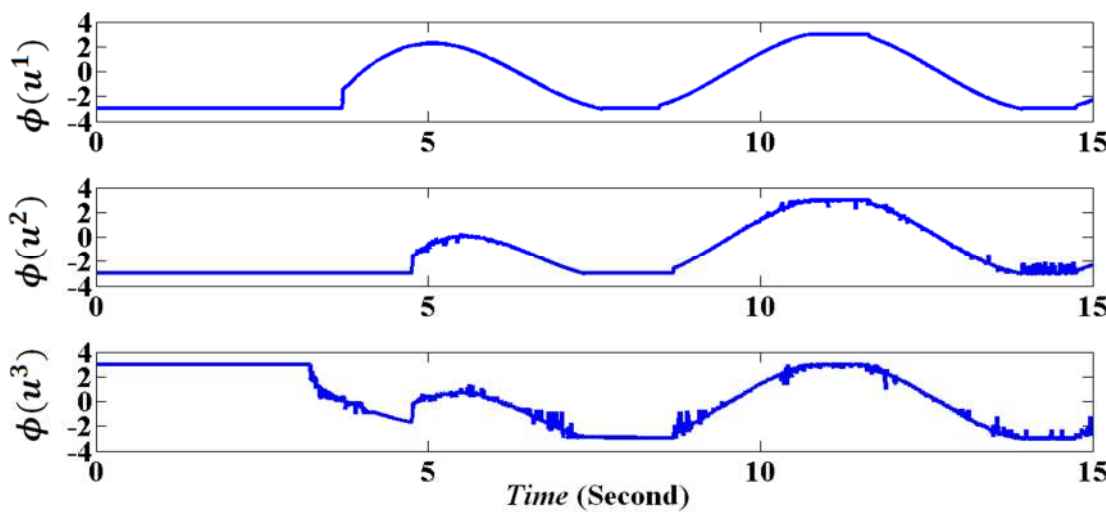
شکل ۲. پاسخ زمانی تخمین متغیر حالت خروجی هر یک از عامل ها



شکل ۳. پاسخ زمانی متغیر حالت (نمودار توپر) و تخمین متغیر حالت (نمودار نقطه چین) هر یک از عامل ها

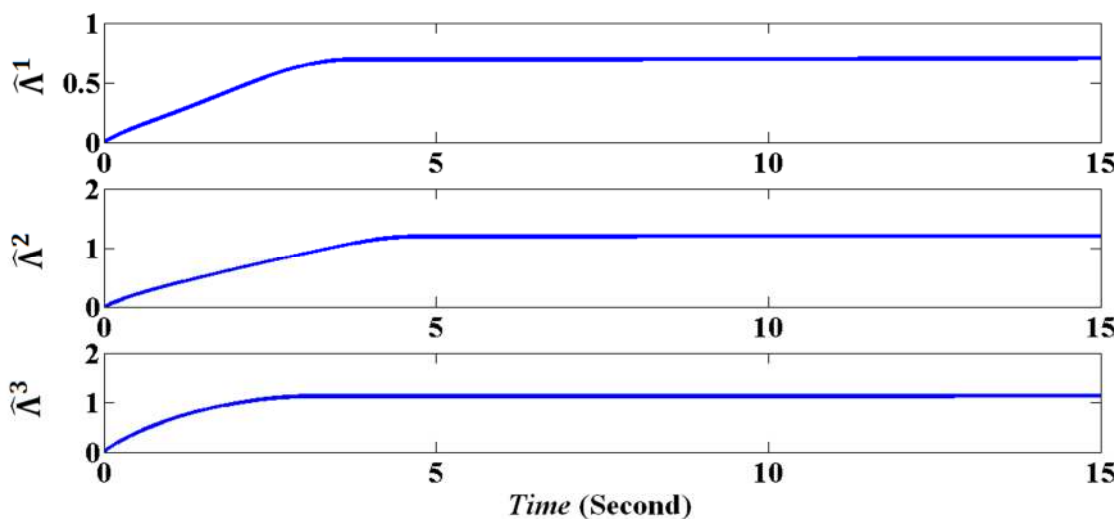
پاسخ زمانی سیگنال کنترلی اشباع شده هر یک از عامل ها در شکل ۴ نمایش داده شده است. همانطور که مشاهده می شود

سیگنال های کنترلی با توجه به بازه های اشباعی که برای آن ها تعریف شده است ($u_L^i = -3, u_H^i = 3$), به اشباع رفته اند.



شکل ۴. پاسخ زمانی سیگنال کنترلی اشباع شدهی عامل‌ها

شکل ۵ پاسخ زمانی حد بالای اغتشاشات خارجی وارد به سیستم $(\hat{\Lambda}^i)$ را نشان می‌دهد که با استفاده از قوانین تطبیقی (۴۰) بدست آمده است. همانطور که مشاهده می‌شود، این حدود به یک مقدار ثابت همگرا شده‌اند.



شکل ۵. پاسخ زمانی متغیر حالت $\hat{\Lambda}^i$ هر یک از عامل‌ها

۶- نتیجه‌گیری

در این مقاله، به طراحی کنترل کننده‌های تطبیقی مبتنی بر رویت گر به منظور دست‌یابی به توافق خروجی در سیستم‌های چند عاملی غیرخطی در حضور عدم قطعیت‌های مدل، اغتشاشات خارجی و اشباع نامتقارن ورودی پرداخته شد. برای این منظور، رویت گر بهره‌ی بالا برای هر یک از عامل‌ها به نحوی طراحی شد که متغیرهای حالت آنها تخمین زده شوند و سپس با استفاده از تخمین متغیرهای حالت، قوانین کنترلی تطبیقی مبتنی بر رویت گر بر اساس ایده‌ی مد لغزشی حاصل شد. در این راستا قضیه‌ای ارائه شد و با توجه به رویکرد لیپانوفی ثابت شد که خطای توافق به صفر همگرا می‌شود و خروجی‌های عوامل پیرو می‌توانند خروجی عامل رهبر

را با وجود عدم قطعیت‌های مدل، اغتشاشات خارجی و اشباع نامتقارن ورودی را باید کنند. علاوه بر این، نتایج شبیه‌سازی عملکرد موثر کنترل کننده پیشنهادی را تایید می‌کنند.

مراجع

- [1] Chen Yao, Lu Jinhua, Yu Xinghuo, Hill David J, “Multi-agent systems with dynamical topologies: Consensus and applications,” *Expert Systems with Applications*, 2013, vol. 13, no.3, pp.21-24.
- [2] Olfati-Saber Reza, Fax Alex, Murray Richard M, “Consensus and cooperation in networked multi-agent systems,” *Proceedings of the IEEE*, 2007, vol. 95, no. 1, pp. 215-233.
- [3] Vasca, Francesco, Carmela Bernardo, and Raffaele Iervolino, “Practical consensus in bounded confidence opinion dynamics,” *Automatica*, 2021, vol. 129, no. 3.
- [4] Jian, Le, et al, “Distributed economic dispatch method for power system based on consensus,” *IET Renewable Power Generation*, 2020, vol. 14, no. 9, pp. 1424-1432.
- [5] Arnold, Rachel, and Dave Longley, “A deterministic Byzantine fault tolerant asynchronous consensus algorithm,” *Computer Networks*, 2021, vol. 199, pp. 108431.
- [6] Li, Shuang, and Xi Fang, “A modified adaptive formation of UAV swarm by pigeon flock behavior within local visual field, 2021, vol. 114, pp. 106736.
- [7] Phan, Linh-An, and Taehong Kim, “Fast Consensus-Based Time Synchronization Protocol Using Virtual Topology for Wireless Sensor Networks,” *IEEE Internet of Things Journal*, 2020, vol. 8 no. 9, pp. 7485-7496
- [8] Li, Ping, et al, “Fixed-time consensus for disturbed multiple Euler-Lagrange systems with connectivity preservation and quantized input,” *Applied Mathematics and Computation*, 2020, vol. 380, pp. 125303.
- [9] Rahimi Nahid, Binazadeh Tahereh, “Distributed robust consensus control for nonlinear leader–follower multi-agent systems based on adaptive observer-based sliding mode,” *Journal of Vibration and Control*, 2019, vol. 25, no. 1, pp. 109–121.
- [10] Yu Shuanghe, Long Xiaojun, “Finite-time consensus for second-order multi-agent systems with disturbances by integral sliding mode,” *Automatica*, 2015, vol. 54, pp. 158-165.
- [11] Khoo Suiyang, Xie Lihua, Man Zhihong, “Robust finite-time consensus tracking algorithm for multirobot systems,” *IEEE/ASME Transactions on Mechatronics*, 2009, vol. 14, no. 2, pp. 219–228.
- [12] Zhao D, Zou T, Li S, Zhu Q, “Adaptive backstepping sliding mode control for leader–follower multi-agent systems,” *IET Control Theory & Applications*, 2012, vol. 6, no. 8, pp. 1109–1117.
- [13] Guan Zhi-Hong, Sun Feng-Lau, Wang Yan-Wu, Li Tao, “Finite-time consensus for leader-following second-order multi-agent networks,” *IEEE Transactions on Circuits and Systems*, 2012, vol. 59, no. 11, pp. 2646-2654.
- [14] Ren Chang-E, Chen C. P. Philip, “Sliding mode leader-following consensus controllers for second-order non-linear multi-agent systems,” *IET Control Theory & Applications*, 2015, vol. 9, no. 10, pp. 1544-1552.
- [15] T. Binazadeh and M. Bahmani, “Design of robust controller for a class of uncertain discrete-time systems subject to actuator saturation,” *IEEE Transactions on Automatic Control*; 2017, vol. 62, no. 3, pp. 1505-1510.
- [16] Binazadeh Tahereh and Bahmani Majid, “Robust time-varying output tracking control in the presence of actuator saturation,” *Transactions of the Institute of Measurement and Control*, 2018, vol. 40, no. 1, pp. 61-70.

- [17] Han, Qi, et al, "Couple-Group Consensus for First Order Discrete-Time Multiagent Systems With Competition-Cooperation and Input Saturation Constraints," *IEEE Access*, 2020, Vol. 9, pp. 5555-5562.
- [18] Liu, Xiaolu, et al, "Finite-time Consensus of Leader-following Multi-agent Systems with Input Saturation and Disturbance," In 2020 IEEE 16th International Conference on Control & Automation (ICCA), 2020, Vol. 9, pp. 1265-1270..
- [19] Naserian, Majid, et al, "Leader–follower consensus control for a nonlinear multi-agent robot system with input saturation and external disturbance," *Systems Science & Control Engineering*, 2021, Vol. 9, No. 1, pp. 260-271.
- [20] Lu, Mengyao, et al, "Consensus of second-order heterogeneous multi-agent systems with and without input saturation," *ISA transactions*, 2021.
- [21] Wang, Jinran, et al, "Event-triggered consensus control for second-order multi-agent system subject to saturation and time delay," *Journal of the Franklin Institute*, 2021.
- [22] Zhang, Chuanbao, et al, "Nonlinear robot system finite time consensus control using an adaptive terminal sliding mode approach in presence of input saturation and external disturbance," *Systems Science & Control Engineering*, 2020, Vol. 8, No. 1, pp. 508-520.
- [23] Ren, Ming, Heyan Huang, and Esmaiel Mirabdollahi, "A Finite-Time Consensus Using an Adaptive Terminal Sliding Mode Control Subjected to Input Saturation and Unknown Bounded Disturbance," *Information Technology and Control*, 2020, Vol. 49, No. 3, pp. 412-420.
- [24] Nan, Xiaoya, Yuezu Lv, and Zhisheng Duan, "On bipartite consensus of linear MASs with input saturation over directed signed graphs: Fully distributed adaptive approach," *IET Control Theory & Applications*, 2021.
- [25] Xie, Yijing, and Zongli Lin, "Global consensus of multiagent systems with intermittent directed communication in the presence of actuator saturation," *International Journal of Robust and Nonlinear Control*, 2020, Vol. 30, No. 18, pp. 8469-8484.
- [26] Gao, Chen, et al., "Consensus Control of Linear Multiagent Systems Under Actuator Imperfection: When Saturation Meets Fault," *IEEE Transactions on Systems, Man, and Cybernetics: Systems*, 2021.
- [27] ur Rehman, Ateeq, et al, "Consensus tracking of nonlinear multi-agent systems under input saturation with applications: A sector-based approach," *ISA transactions*, 2020, Vol. 107, No. 18, pp. 194-205.
- [28] Huang, Kaide, and Chengzhi Yuan, "Dynamic Relative Output-Feedback Consensus for Multi-Agent Systems Subject to Actuator Saturation," *IEEE Access*, 2020, Vol. 8, pp. 111239-111252.
- [29] Rehan, Muhammad, Muhammad Tufail, and Shakeel Ahmed, "Leaderless Consensus Control of Nonlinear Multi-agent Systems under Directed Topologies subject to Input Saturation using Adaptive Event-Triggered Mechanism," *Journal of the Franklin Institute*, 2021.
- [30] Huang, Jiangshuai, et al, "Distributed adaptive leader–follower and leaderless consensus control of a class of strict-feedback nonlinear systems: A unified approach," *Automatica*, 2020, Vol. 118, pp. 109021.
- [31] Jin, Xiaozheng, et al, "Adaptive fault-tolerant consensus for a class of leader-following systems using neural network learning strategy," *Neural Networks*, 2020, Vol. 121, pp. 474-483.
- [32] Hao Li-Ying, Yang Guang-Hong, "Fault tolerant control for a class of uncertain chaotic systems with actuator saturation," *Nonlinear Dynamics*, 2013, vol. 73, no. 4, pp. 2133-2147.

- [33] Mohammadpour Samaneh, Binazadeh Tahereh, "Robust Adaptive Synchronization of Chaotic Systems With Nonsymmetric Input Saturation Constraints," *Journal of Computational and Nonlinear Dynamics*, 2018, vol. 13, no. 1, pp. 011005.
- [34] Hu Q, "Adaptive output feedback sliding-mode manoeuvring and vibration control of flexible spacecraft with input saturation," *IET Control Theory & Applications*, 2008, vol. 2, no. 6, pp. 467-478.
- [35] Khalil, Hassan, "Nonlinear control," Upper Saddle River, NJ: Prentice-Hall, 2014.
- [36] Shen Qikun, Shi Peng, Shi Yan, Zhang Jianhua, "Adaptive output consensus with saturation and dead-zone and its application," *IEEE Transactions on Industrial Electronics*, 2017, vol. 64, no. 6, pp. 5025-5034.